

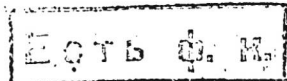
Ca-Ru, Rh, Pd,  
Os, Ir, Pt

IX 1430

1957

Ca Rh<sub>2</sub>, Sr Rh<sub>2</sub>, BaRh<sub>2</sub>, CaT<sub>2</sub><sub>2</sub>,  
Sr T<sub>n</sub><sub>2</sub> (верхуровод.)

Matthias B.T., Corenzowit E.,  
Phys. Rev., 1957, 104, N6, 1558



5

P.X., 1958, N13, 42487

Ca Rh<sub>2</sub>, Sr Rh<sub>2</sub>, Ba Rh<sub>2</sub>, Ca Y<sub>2</sub>Rh<sub>2</sub>  
Sr Y<sub>2</sub>, Ca Pt<sub>2</sub>, Sr Pt<sub>2</sub>, Ba Pt<sub>2</sub>,  
Ca Pd<sub>2</sub>, Sr Pd<sub>2</sub>, Ba Pd<sub>2</sub>.  
(Russia: sup-pa)

Wood E. A., Compton T. B.,  
*Acta crystallogr.*,  
1958, 11, no. 429-433.

PX, '59, 3662. ill.

*Ca<sub>4</sub>PtO<sub>6</sub>*

1970

3 В17. Получение и кристаллографические данные тетракальцийплатиноксида Ca<sub>4</sub>PtO<sub>6</sub>. Czaya R. Darstellung und kristallographische Daten von Tetracalciumplatinoxid Ca<sub>4</sub>PtO<sub>6</sub>. «Z. anorgan. und allg. Chem.», 1970, 375, № 1, 61—64 (нем.; рез. англ.)

При синтезе силикатов Ca в Pt-тигле получены кристаллы Ca<sub>4</sub>PtO<sub>6</sub> (I), устойчивые в присутствии H<sub>2</sub>O. Смесь CaO с SiO<sub>2</sub> и CaCl<sub>2</sub> (вес. отношение 3 : 1 : 5) сплавляется в течение 80 час. в муфельной печи при 800°. Для ускорения р-ции добавляется H<sub>2</sub>[PtCl<sub>6</sub>]. Проведено рентгенографич. исследование I (метод порошка, камера Гинье,  $\lambda$  Cu-K $\alpha$ ) и определены параметры ромбич. решетки I, равные  $a$  9,18,  $b$  9,24,  $c$  6,50 Å,  $\rho$  (пикн.) 5,44 г/см<sup>3</sup>,  $Z=4$ , вероятная ф. гр.  $Ctc\bar{2}1$ ,  $C2ct$  или  $C\bar{t}ct$ . Приведены значение  $I$  и  $d$  рентгенограммы порошка I.

М. Розенкевич

X. 1971. 3

1970

Системыиз  
оформл.CaO - PdOSrO - PdO

1 6 Б1054. Системы CaO-PdO и SrO-PdO. Wasel-Nielen H.-D., Hoppe R. Über die Systeme CaO/PdO und SrO/PdO. «Z. anorgan. und allg. Chem.», 1970, 375, № 3, 209—213 (нем.; рез. англ.)

Образцы систем CaO—PdO и SrO—PdO получены нагревом смесей CaO+PdO при 500—1000° в токе сухого O<sub>2</sub> и смесей SrO или Sr(NO<sub>3</sub>)<sub>2</sub> и PdO в атмосфере сухого Ar или O<sub>2</sub> при 800—1300°. Исследование проведено рентгеновским и хим. методами. В системе CaO—PdO подтверждено существование фазы CaPd<sub>3</sub>O<sub>4</sub>. В системе SrO—PdO установлены соединения: SrPd<sub>3</sub>O<sub>4</sub> с кубич. решеткой типа NaPt<sub>3</sub>O<sub>4</sub> ( $a$  5,826 Å) и Sr<sub>2</sub>PdO<sub>3</sub> с ромбич. решеткой ( $a$  3,977;  $b$  3,530;  $c$  12,82 Å); в системе существуют еще 2 неидентифицированные фазы. Л. В. Шведов

(+) +1

X. 1871. 6

Capd - русн. ном., Т. форм. № 4986 1973  
Mendelsohn Marschall H., Tomaka  
Joh. „J. Less - Common leotids“  
1973, 32, №, 314 - 316 (авн.).

Новод кубинская раза в  
сущности кубинско-новогвинея.

Прим. 1457, 1974.

Ми, Б.

$Pt_7Li$ ,  $Pt_{15}Be$ ,  $Pt_7Mg$ ,  $Pt_5Ca$ ,  $Pt_7Ca_2Al_3$ ,  
 $Pt_2Cu$ ,  $Pt_5Sr$ ,  $Pt_3Sr$ ,  $Pt_2Sr$ ,  $Pt_5Ba$ ,  
 $Pt_3Ba$ ,  $Pt_{13}Al_3$ ,  $Pt_3Al$ ,  $Pt_5Al_3$ ,  $PtAl$ ,  
 $Pt_2Al_3$ ;  $Pt_3Sc$ ;  $Pt_5Y$ ,  $Pt_5La$ ,  $Pt_3Ti$ ,  $Pt_3V$ ,  
 $Pt_3Yb$ ,  $Pt_3Ta$ ,  $Pt_3Cr$ ,  $Pt_5Sm$ ,  $Pt_5Eu$ ,  $Pt_3Tm$ ,  
 $Pt_3Hf$ ,  $Pt_3Lu$ ,  $Pd_2Al$ ,  $Pd_5Al_3$ ;  $PdAl$ ,  $Pd_2Si$ ,  
 $Pd_3Ti$ ,  $IrAl$ ,  $IrSi$ ,  $IrTi$ ,  $RhAl$ ,  $Rh_2Si$ ,  
 $Rh_3Si$ ,  $RuSi$ ,  $RuTi$ ,  $Ni_5Si$ ,  $Ni_2Si$ ,  $Co_2Si$ ,  
 $Fe_3Si$ (D6f) IX 4675

Wengert P.R., Spanoudis L.,  
J. Amer. Ceram. Soc., 1974, 57, N2

94-96

At.

10

$\text{Sr}_2\text{OsO}_4 \cdot 2\text{H}_2\text{O}$ ;  $\text{Ca}_2\text{OsO}_4 \cdot 2\text{H}_2\text{O}$ ; 1975

$\text{Ba}_2\text{OsO}_4 \cdot \text{H}_2\text{O}$ ;  $\text{Sr}_2\text{OsO}_4 \cdot 4\text{H}_2\text{O}$  (17p)

Bavay Jean-Claude IX-5000

Rev. chim. minéz., 1975, 12, VI, 24-40 (Франц.)

Состав основной кристалл. Установлено  
существование, общие свойства и  
структурные данные.

РНХ Xuzh., 1975 ( )

22B21

B (9)

6

1975

Ca, Ba, Sm, Eu (ΔH<sub>v</sub>)

1975

Pt<sub>3</sub>Al, Pt<sub>2</sub>Ca, Pt<sub>2</sub>Ba, Pt<sub>2</sub>Sm, Pt<sub>2</sub>Eu,

Pt<sub>2</sub>Gd, Pt<sub>3</sub>Dy, Pt<sub>3</sub>Yb (K<sub>p</sub>, T<sub>m</sub>) IX-5077

Mangelmann H.

Report 1975, KFK-2107, 45 pp.

From Nucl Sci Abstr 1975, 32 (5)  
Abstr N 12040.

Thermal stability of binary al-  
loys of noble metals ...

C. A. 1975, 89 n2. 9607v. B, Ar (P)? 15

*Ca<sub>4</sub>PtO<sub>6</sub>*

1975

23 Б568. Смешанный окисел кальция — платины  
Ca<sub>4</sub>PtO<sub>6</sub> — проблемы роста и долиморфизм. Sharp-  
gin I. S., Lazarev V. B. Calcium-platinum oxide  
Ca<sub>4</sub>PtO<sub>6</sub> — growth problems and polymorphism. «Mater.  
Res. Bull.», 1975, 10, № 9, 903—908 (англ.)

Исследуется влияние условий выращивания на сим-  
метрию моноокристаллов Ca<sub>4</sub>PtO<sub>6</sub> (I). Описана техно-  
логия получения кристаллов I при использовании в  
кач-ве флюса CaCl<sub>2</sub>, KF и PbF<sub>2</sub>. В случае CaCl<sub>2</sub> обра-  
зуются серо-черные игольчатые кристаллы с парамет-  
рами ромбич. ячейки: a 9,164, b 9,235, c 6,502 Å. При  
KF и PbF<sub>2</sub> — серо-черные пластинчатые кристаллы с  
размерами гексагон ячейки: a 9,26, c 11,26 Å. Электро-  
сопротивление для ромбич. и гексагон. форм равно  
соотв. 1,04·10<sup>2</sup> и (4,8—22,5)·10<sup>3</sup> ом·см. Записаны  
ИК-спектры полученных кристаллов. Изучена тепловая  
стабильность I. Обсуждается влияние нестехиометрии  
по кислороду на крист. структуру и св-ва поликрист.  
образцов I.

Е. А. Кривандина

*наиболее  
перспектив.*

X. 1976. № 23

# Ca<sub>4</sub>PtO<sub>6</sub>

1975

11. E691. Проблемы роста кальциево-платинового окисла Ca<sub>4</sub>PtO<sub>6</sub> и его полиморфизм. Shaplygin I. S., Lazarev V. B. Calcium-platinum oxide Ca<sub>4</sub>PtO<sub>6</sub>-growth problems and polymorphism. «Mater. Res. Bull.», 1975, 10, № 9, 903—908 (англ.)

Исследована кристаллич. структура окисла Ca<sub>4</sub>PtO<sub>6</sub>, полученного сплавлением CaCO<sub>3</sub> или CaO с β-PtO<sub>2</sub>

*на фоне:  
переноски*

в потоке различных газов: CaCl<sub>2</sub> (I), KF (II) или PbF<sub>2</sub> (III) при 900—950° С, при соотношении сплавляемых компонентов от 4 : 1 до 6 : 1. Образцы группы I имели орторомбич. решетку с параметрами:  $a=9,164 \text{ \AA}$ ,  $b=9,325 \text{ \AA}$ ,  $c=6,502 \text{ \AA}$ . Образцы групп II и III имели гексаг. решетку с параметрами:  $a=9,26 \text{ \AA}$ ,  $c=11,26 \text{ \AA}$ . В обоих случаях материал обладал полупроводн. свойствами и являлся термически стабильным. Удельное электросопротивление материала составляло  $1,04 \cdot 10^2$  и  $(4,8 \div 22,5) \cdot 10^3 \text{ ом} \cdot \text{см}$  для орторомбической и гексаг. форм соответственно.

Г. Книжник

ср. 1976 N 18.

Al<sub>2</sub>Pt<sub>3</sub>, Ca Pt<sub>2</sub>, Ba Pt<sub>2</sub>, Sm Pt<sub>2</sub>. 1972.

Eu Pt<sub>2</sub>, Gd Pt<sub>2</sub>, Dy Pt<sub>2</sub> (K<sub>p</sub>, T<sub>m</sub>) Y<sub>2</sub>Pt<sub>2</sub> (T<sub>m</sub>)

Mangelmann H., Keller C. IX-5589

J. Inorg. and Nucl. Chem., 1977, 39, Nr.

305-309 (Rec.)

Die Zersetzung von Intermetallischen Phasen des  
Platins mit Erdalkalien und Lanthaniden bei  
Hohen Temperaturen

PH-Nr., 1977

1951005

✓ Ar CP

*CaOsO<sub>3</sub>*

*1048*

21 Б945. О термических превращениях CaOsO<sub>3</sub> на воздухе. Лазарев В. Б., Шаплыгин И. С. «Ж. неорганической химии», 1978, 23, № 7, 1744—1749

Методами ДТГ и рентгенофазового анализа изучены термич. превращения CaOsO<sub>3</sub> при нагревании на воздухе. Установлено, что механизм термич. превращений CaOsO<sub>3</sub> зависит от изменения состава газовой фазы над образцом. Определен т-рный интервал существования промежут. фаз и вычислены параметры элементарной ячейки Ca<sub>2</sub>Os<sub>2</sub>O<sub>7</sub> и Ca<sub>2</sub>Os<sub>2</sub>O<sub>6,5</sub>. Фаза Ca<sub>2</sub>Os<sub>2</sub>O<sub>7</sub> имеет ромбич. структуру типа Ca<sub>2</sub>Nb<sub>2</sub>O<sub>7</sub> ( $a=3,745$ ,  $b=25,1$ ,  $c=5,492$  Å), а Ca<sub>2</sub>Os<sub>2</sub>O<sub>6,5</sub> принадлежит к структурному типу пирохлора,  $a=10,24$  Å.

Резюме

*термические  
превращения  
фазов.  
переходы*

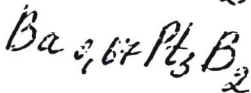
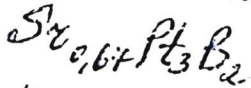
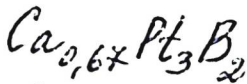
*2.1948, N21*

$\text{CaRh}_2\text{B}_2$  sammel. 7155 1978.

$\text{CaY}_{2}\text{B}_2$  Schmidt B.; Yang W.

Kfuerstand. Z. Naturforsch., 1978,  
compositiope 33b, 1430-33.

1978



:

 $\overline{\text{Pt}}$ 

(62) 18

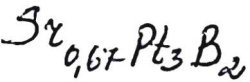
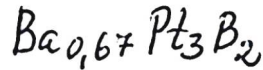
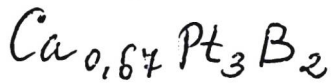
12 Б857. Сверхпроводимость и кристаллическая структура двойных платиновых боридов. Shelton R. N. Superconductivity and crystal structure of a new class of ternary platinum borides. «J. Less—Common Metals», 1978, 62, 191—196 (англ.)

Описаны сверхпроводящие свойства и кристаллические структуры нового класса двойных платиновых боридов  $M_{0.67}\text{Pt}_3\text{B}_2$  ( $M=\text{Ca}, \text{Sr}, \text{Ba}$ ). Эти соединения кристаллизуются в гексагональной системе с пространственной группой  $P6_3/mmc$  и обладают тройной переходом в сверхпроводящее состояние несколько выше  $5,6^\circ\text{K}$ . При исследовании соединения  $\text{Ba}_{0.67}\text{Pt}_3\text{B}_2$  определены атомные позиции и найдены положения вакансий в подрешетке щелочноzemельных ионов.

Резюме

Х. 1979, № 12

1978



90: 178894r Superconductivity and crystal structure of a new class of ternary platinum borides. Shelton, R. N. (Inst. Pure Appl. Phys. Sci., Univ. California, La Jolla, Calif.). *J. Less-Common Met.* 1978, 62, 191-6 (Eng). The crystal structure and superconducting properties of  $\text{M}_{0.67}\text{Pt}_3\text{B}_2$  ( $\text{M} = \text{Ca}, \text{Sr}, \text{Ba}$ ), are reported. These compds. crystallize in the hexagonal system in the space group  $P6_3/mmc$  and have transition temps. of  $\leq 5.6$  K. At. positions and the presence of vacancies on the alk. earth sublattice were detd. from a structural study of the  $\text{Ba}_{0.67}\text{Pt}_3\text{B}_2$  compd.

( $\bar{1}\bar{1}\bar{2}$ )

(+2) 



CA.1979,90,N22

*Cu<sub>2</sub>Os<sub>x</sub>O<sub>y</sub>*

1979

3 Б883. Термическая устойчивость смешанных оксидов осмия. II. Продукты разложения  $\text{CaOsO}_3$ : условия образования дефектных пирохлоров  $\text{Ca}_2\text{Os}_2\text{O}_{7-x}$ . Shaplygin I. S., Lazarev V. B. Thermal stability of osmium mixed oxides. II.  $\text{CaOsO}_3$  decomposition products: condition formation of defect pyrochlores  $\text{Ca}_2\text{Os}_2\text{O}_{7-x}$ . «Thermochim. acta», 1979, 32, № 1—2, 53—56 (англ.)

С помощью ДТА, ТГА и дифрактометрии изучено термич. разл.  $\text{Ca}_2\text{Os}_2\text{O}_7$  (I). Орторомбич. I получен термич. разл.  $\text{CaOsO}_3$ . I начинает терять кислород при т-ре выше  $855 \pm 5^\circ$ . Структура фазы сохраняется до  $x \sim 0,16$  ( $\text{Ca}_2\text{Os}_2\text{O}_{7-x}$ ). При  $x = 0,16 - 0,20$  начинает образовываться кубич. фаза  $\text{Ca}_2\text{Os}_2\text{O}_{7-x}$  со структурой пирохлора с областью гомогенности  $0,42 < x < 0,62$ . Свыше т-ры  $1018 \pm 7^\circ$  происходит разл. этой фазы с образованием  $\text{CaO}$ , металлич. осмия,  $\text{OsO}_4$  и кислорода.

Л. Г. Титов

(Р2)

2.1980 №3

Ca-Pt

1981

payback  
glarpan.

' 95: 13576d Contribution to the study of the binary phase diagrams calcium-platinum and strontium-platinum. Palenzoa, A. (Ist. Chim. Fis., Univ. Genova, 16132 Genoa, Italy). *J. Less-Common Met.* 1981, 78(2), P49-P53 (Eng). The Ca-Pt and Sr-Pt binary phase diagrams were studied in the range 0 to 50 at.% Pt. Five new intermetallic compds. ( $\text{Ca}_5\text{Pt}_2$ ,  $\text{Ca}_5\text{Pt}_3$ ,  $\text{Ca}_3\text{Pt}_2$ ,  $\text{Sr}_3\text{Pt}_2$  and  $\text{Sr}_5\text{Pt}_4$ ) were completely identified to crystal lattice consts. and crystal structure types. Two other phases were identified with probable compns.  $\text{Sr}_9\text{Pt}$  and  $\text{Sr}_7\text{Pt}_3$ .

B

(A)

Sr-Pt



C.A. 1981, 95, N2.

*CaPdF<sub>4</sub>*

1982.

18 Б405. О структурах CaPdF<sub>4</sub>, CdPdF<sub>4</sub>, HgPdF<sub>4</sub> и  
модификации высокого давления PdF<sub>2</sub>. Müller

Bernd G. Zur Struktur von CaPdF<sub>4</sub>, CdPdF<sub>4</sub>, HgPdF<sub>4</sub>,  
und HP—PdF<sub>2</sub>. «J. Fluor. Chem.», 1982, 20, № 3, 291—  
299 (нем.; рез. англ.)

Проведено рентгенографич. исследование (методы порошка, Вейсенберга, прецессии и дифрактометра) кристаллов CaPdF<sub>4</sub> (I) (МНК, анизотропное приближение,  $R = 0,083$  для 283 отражений), CdPdF<sub>4</sub> (II) ( $R = 0,047$  для 165 отражений), HgPdF<sub>4</sub> (III) (все три соединения синтезированы взаимодействием простых фторидов) и модификации высокого давления PdF<sub>2</sub> (IV) (синтезированной нагреванием при  $T = 480^\circ$  под давл. Ar 60 кбар из тетрагональной модификации). Для I установлена структура типа KBr<sub>4</sub>F<sub>4</sub> с параметрами тетрагональной решетки:  $a = 5,52$ ,  $c = 10,56$  Å,  $Z = 4$ , ф. гр  $I4/mcm$ . Атомы Ca находятся в 8-кратной, а атомы Pd — в 4-кратной тетраэдрич. координации (Ca—F = 2,367 Å, Pd—F

*Структура,*

*тетрагональная*

(73)

X. 1982, 19, № 18.

1,991 Å). Для II—IV характерна структура типа флюорита  $\text{CaF}_2$  ( $Z = 4$ , ф. гр.  $P\bar{a}3$ ). Параметры кубич. решеток: II 5,40, III, 5,32, IV 5,43. Атомы Pd и Cd в структуре II находятся в октаэдрич. координации ( $\text{Cd}-\text{F}$  2,20,  $\text{Pd}-\text{F}$  2,17). Исследование магнитных св-в показало, что I является диамагнитным, в то время как II—IV антиферромагнитны (для II  $\mu_{\text{эф}}$  2,58  $\mu_B$ ).

С. В. Соболева

ато  
вак

Ommuck 14861

1982

Ca-Pd

Paleozona A; Maneri  
nettii P;

payhoe  
pahoe-  
ree

g. less. Comm. Met.  
1982, 85, N2, 307-312.

*CdPt<sub>3</sub>O<sub>6</sub>*

1983

20 Б402. Синтез и структура ромбического оксида кадмия и платины, CdPt<sub>3</sub>O<sub>6</sub>. Synthesis and structure of orthorhombic cadmium platinum oxide, CdPt<sub>3</sub>O<sub>6</sub>. Pre-witt C. T., Schwartz K. B., Shannon R. D. «Acta crystallogr.», 1983, C39, № 5, 519—521 (англ.). Место хранения ГПНТБ СССР

Кристаллы CdPt<sub>3</sub>O<sub>6</sub> выращены гидротермальным методом (0,674 г. PtCl<sub>2</sub>, 0,326 г. CdO, 0,500 г KClO<sub>3</sub>, 1 мл H<sub>2</sub>O нагреты в Pt-трубке до 973 К при 300 Мпа в течении 24 ч). Проведено рентгеноструктурное исследование CdPt<sub>3</sub>O<sub>6</sub> (метод монокристалла, λAg, 420 отражений, МНК до *R* 0,047). Кристаллы ромбич., *a* 7,2144, *b* 10,190, *c* 3,1650 Å,  $\rho$  (выч.) 11,33, *Z* 2, ф. гр. *Cmmm*. Все атомы структуры расположены на плоскости *t*, перпендикулярной оси *c*. Имеется 2 типа атомов Pt (с плоско-квадратной и октаэдрич. коорди-

синтез  
и  
структура

X. 1983, 19, № 20

нацией), так что ф-ла соединения может быть представлена  $\text{CdPt}^{2+}\text{Pt}_2^{4+}\text{O}_6$ . Расстояния  $\text{Pt}^{2+}-\text{O}$  1,99 Å,  $\text{Pt}^{4+}-\text{O}$  2,01 и 2,03 Å. Атом Cd имеет восьмерную координацию, Cd—O 2,29 и 2,48 Å. В структуре имеют короткие расстояния металл—металл вдоль периода решетки *c*. Проведены измерения электропроводности на порошковой прессованной таблетке ( $\rho(298 \text{ K})$  0,03 ом, энергия активации  $E_a$  0,04 эв в интервале 5—298 K). Сравнительно высокая проводимость объяснена короткими расстояниями металл—металл.

А. И. Гусев

LaPd<sup>91</sup>

Om. 21551 ]

1985

Cirafici S., Palenzona

Красивая.

A., et al.

струйки.,

レスナー.

J. Less-Common

расшир.,

металлы. Metals, 1985, 107,

cb-ба,

N1, 179-187.

H<sub>T</sub>-H<sub>273</sub>

*Ca<sub>2</sub>Os<sub>3</sub>B<sub>5</sub>*

1986

17 Б2039. Получение и кристаллическая структура изотипных соединений  $\text{Ca}_2\text{Os}_3\text{B}_5$  и  $\text{Eu}_2\text{Os}_3\text{B}_5$ . Darstellung und Kristallstruktur der isotopen Verbindungen  $\text{Ca}_2\text{Os}_3\text{B}_5$  und  $\text{Eu}_2\text{Os}_3\text{B}_5$ . Schweitzer K., Jung W. «Z. anorg. und allg. Chem.», 1986, 533, № 2; 30—36 (нем.; рез. англ.)

*изотипы  
и кристал.*

Методами РСТА и нейтронографии изучена кристаллическая структура фаз  $M_2\text{Os}_3\text{B}_5$ , где  $M=\text{Ca}$  (I) или  $\text{Eu}$  (II), полученных из элементов в вакууме в запаянной Та-ампуле при  $800^\circ\text{C}$ . Кристаллы изотипных I и II монокл.,  $a$  1326,5; 1326,0;  $b$  401,3; 407,1;  $c$  797,1; 800,1 пм,  $\beta$  139,5; 139,40° (данные рентгенографии),  $\rho$  (выч.) 8,495, 10,756,  $\rho$  (изм.) 8,53, 10,58,  $Z$  2, ф. гр.  $C$  2 соотв. Уточнение из рентгенографич. данных дало  $R$  0,049 и 0,047 для I и II соотв., из нейтронографич.  $R$  0,06 (для I). Структуры I и II построены волнистыми слоями из атомов  $M$  ( $M-M$  356,7—375,8 и 368,3—368,8 пм соотв.) заключенных между волнистыми

(4)

X. 1986, 19, N 17

слоями из атомов Os и В. Слои параллельны плоскости  $xy$ . В слоях из атомов Os и В выделены цепочечные фрагменты из 4 атомов В (В—В в середине цепочки 165 и 168, по краям 174 и 176 пм соотв.). Слои из атомов Os и В связаны между собой через мостиковые атомы В с аномально короткими контактами Os—В 195 и 197 пм соотв. Дополняют координацию мостиковых атомов В до октаэдрич. 4 атома М (М—В 267—271 и 270—280 пм соотв.). Атомы В в слое имеют пятерную координацию 4 Os+1 В или 3 Os+2 В. Окружение атомов В сходно с найденным в икосаэдрах  $B_{12}$  в боридах, богатых В. Согласно расчету, выполненному в соответствии с ф-лой Полинга кратность связи атомов Os и мостиковых атомов В для I и II равна 1,52 и 1,43 соотв. Приведены значения  $2\Theta$ ,  $I$ ,  $hkl$  для II.

М. Б. Варфоломеев



*Ca<sub>2</sub>Pt<sub>3</sub>O<sub>8</sub>*

*1987*

22 Б2041. Синтез и характеристика нового оксида кальция и платины: Ca<sub>2</sub>Pt<sub>3</sub>O<sub>8</sub>. Synthesis and characterization of a new calcium platinum oxide: Ca<sub>2</sub>Pt<sub>3</sub>O<sub>8</sub>. Turrillas X., Laviron C., Vincent H., Pannetier J., Joubert J. C. «J. Solid State Chem.», 1987, 67, № 2, 297—307 (англ.)

Изучена крист. структура (методы порошковой рентгенографии,  $R_w$  0,086 и нейтронографии,  $R_w$  0,040) Ca<sub>2</sub>Pt<sub>3</sub>O<sub>8</sub> (I), полученного в гидротермальных условиях из CaPt(OH)<sub>6</sub> при 800 К/170 мПа. I гексагон.:  $a$  6,196,  $c$  15,404 Å,  $Z$  3,  $\rho$  (изм.) 6,6, ф. гр. R $\bar{3}m$ . Атомы O образуют плотнейшую упаковку, порядок чередования слоев AABCC. Атомы Pt занимают 75% октаэдрич. пустот между слоями различного типа (Pt—O средн. 2,02 Å). Образующиеся слои Pt<sub>3</sub>□O<sub>8</sub> связаны атомами Ca, находящимися в тригон.-призматич. позициях (Ca—O средн. 2,36 Å). Для I изучены ИК-спектры и термич. устойчивость (ТГА и ДТА). При т-ре > 550° С I частично разлагается до металлич. Pt, при т-рах ≥ 850° С образуется смесь металлич. Pt, CaPt<sub>2</sub>O<sub>4</sub> и Ca<sub>4</sub>PtO<sub>6</sub>. Приведены значения  $I$ ,  $d(hkl)$ .

*структура*

*X. 1987, 19, N 22*

М. Б. Варфоломеев

*Ca<sub>2</sub>Pt<sub>3</sub>O<sub>8</sub>*

1987

22 Б2041. Синтез и характеристика нового оксида кальция и платины: Ca<sub>2</sub>Pt<sub>3</sub>O<sub>8</sub>. Synthesis and characterization of a new calcium platinum oxide: Ca<sub>2</sub>Pt<sub>3</sub>O<sub>8</sub>. Turrillas X., Laviron C., Vincent H., Pannetier J., Joubert J. C. «J. Solid State Chem.», 1987, 67, № 2, 297—307 (англ.)

Изучена крист. структура (методы порошковой рентгенографии,  $R_w$  0,086 и нейтронографии,  $R_w$  0,040) Ca<sub>2</sub>Pt<sub>3</sub>O<sub>8</sub> (I), полученного в гидротермальных условиях из CaPt(OH)<sub>6</sub> при 800 К/170 мПа. I гексагон.:  $a$  6,196,  $c$  15,404 Å,  $Z$  3,  $\rho$  (изм.) 6,6, ф. гр. R<sub>3</sub>m. Атомы O образуют плотнейшую упаковку, порядок чередования слоев AABBCС. Атомы Pt занимают 75% октаэдрич. пустот между слоями различного типа (Pt—O средн. 2,02 Å). Образующиеся слои Pt<sub>3</sub>□O<sub>8</sub> связаны атомами Ca, находящимися в тригон.-призматич. позициях (Ca—O средн. 2,36 Å). Для I изучены ИК-спектры и термич. устойчивость (ТГА и ДТА). При т-ре > 550° С I частично разлагается до металлич. Pt, при т-рах ≥ 850° С образуется смесь металлич. Pt, CaPt<sub>2</sub>O<sub>4</sub> и Ca<sub>4</sub>PtO<sub>6</sub>. Приведены значения  $I$ ,  $d(hkl)$ .

*Синтез,  
структура*

X. 1987, N 22

М. Б. Варфоломеев

$\text{CaTi}_2\text{O}_3$

1989

Ильстадтер Т. Ф.,  
Сидоренко А. А. и др.

Тез. докт. 14 Всеэ. Чаркесов.  
Сокол. по землем. анат. 4  
технод. памятн. земп.,  
Новосибирск, 1989, 26-28 янв.  
лд. Т. 1. Новосибирск,  
1989. с. 120.

(crys.  $\text{CaRh}_2\text{O}_4$ ;  $\underline{\text{I}}$ )

Сару0<sub>3</sub> 1989  
Мустафина Т. Ф.,  
Судоренко Ю. А. и др.

Печ. № 01. 14 Всес. Чертежей  
сборн. по химическому анал.  
и технич. реалии. лист.,  
Новосибирск, 26-28 янв.<sup>2</sup>,  
1989. Т. 1. Новосибирск,<sup>2</sup>  
1989. С. 120. (см. Сару0<sub>3</sub>; Т.)

CaRh<sub>2</sub>O<sub>4</sub>

1989

22 В10. Исследование взаимодействия родия, ири-  
дия и рутения с окисью кальция и перекисью бария /  
Мустафина Г. Ф., Сидоренко Ю. А., Крапивко А. А. //  
Тез. докл. 14 Всес. Черняев. совещ. по химии, анал. и  
технол. платин. мет., Новосибирск, 26—28 июля, 1989.  
Т. 1.— Новосибирск, 1989.— С. 120.— Рус.

Приведены результаты исследования фазового соста-  
ва продуктов взаимодействия Rh, Ir и Ru с окисью Ca  
и перекисью Ba в интервале т-р 773—1773 K, а также  
данные по кинетике образования в этих системах кис-  
лотор-римых (HCl) фаз. С использованием методов тер-  
мографии, рентгенографии и хим. анализа продуктов,  
полученных при изотермич. обработке, установлено об-  
разование соединений: CaRh<sub>2</sub>O<sub>4</sub>, CaIrO<sub>3</sub>, CaRuO<sub>3</sub>, Ca<sub>2</sub>-  
IrO<sub>4</sub>, Ca<sub>2</sub>RuO<sub>4</sub>, Ca<sub>4</sub>IrO<sub>8</sub>, Ca<sub>4</sub>RuO<sub>6</sub>. Первые три из указан-  
ных соединений малор-римы, остальные — хорошо р-римы  
в HCl. В системе CaO—Ir, кроме того, обнаружена  
ранее не описанная, кислотор-римая фаза неустановлен-  
ного состава. Наиболее низкая т-ра образования кисло-

(f2)

X. 1989, N 22 ⑧

тор-римых оксидов характерна для Ru (973 К). Кислотор-римые соединения Ig образуются при повышении т-ры до 1273—1473 К. Повышение мольного соотношения CaO/металл в смеси способствует росту извлечения Ig и Ru из спеков в р-р. Продукты взаимодействия системы Rh—CaO с HCl реагируют слабо. Образование типичной для данной системы фазы  $\text{CaRh}_2\text{O}_4$  облегчается при замене в исходной реакц. смеси CaO на  $\text{CaCO}_3$ . Соединение, образующееся при взаимодействии Rh с  $\text{BaO}_2$ , в отличие от фаз системы CaO—Rh р-ряется в хлористоводородной к-те практически нацело. Приведены его рентгенографич. данные. Из продуктов взаимодействия  $\text{BaO}_2$  с Ru кислотор-римым является  $\text{Ba}_4\text{RuO}_6$ . Кислотор-римое соединение Ig с  $\text{BaO}_2$  неустановленного состава имеет коричневый цвет. Выход кислотор-римых фаз в системах с  $\text{BaO}_2$  увеличивается с повышением мольного соотношения перекиси бария к металлу  $\geq 2$  и ростом т-ры термообработки до 1573 К. Резюме

$\text{CaRh}_2\text{O}_4$

1989

Скработ В. Н., Треди-  
левсков Р. Г.

Tz

14 Менделеев. Озежъ №  
одис. и крикет. деревни:

Рег. зонд. и сооды. T.2.  
M., 1989. с. 199.

(см.  $\text{MgRh}_2\text{O}_4$ ; ?)

*CaRh<sub>2</sub>O<sub>4</sub>*

1989

) 23 Б3182. Фазовые соотношения в системе CaO—Rh<sub>2</sub>O<sub>3</sub> / Скробот В. Н., Гребенщиков Р. Г. // Ж. неорг. химии.— 1989.— 34, № 8.— С. 2127—2130.— Рус.

Методами отжига и закалки, РФА, ДТА и хим. анализа изучена система CaO—Rh<sub>2</sub>O<sub>3</sub> на воздухе и построена схематич. субсолидусная диаграмма фазовых соотношений. Подтверждено существование соединения CaRh<sub>2</sub>O<sub>4</sub> и приведены его нек-рые физ.-хим. свойства.

Резюме

*ФИУ - ХИМ -  
СВ - 6а*

*av. 1989, N 23*

*CaPdH<sub>2</sub>*

1990

23 Б2023. CaPdH<sub>2</sub>, тройной гидрид с перовскитоподобной структурой. CaPdH<sub>2</sub>, ein ternäres Hydrid mit perowskitverwandter struktur / Bronger B., Jansen K., Müller P. // J. Less—Common Metals.— 1990.— 161, № 2.— С. 299—302.— Нем.; рез. англ.

Проведен РСТА ( $\lambda$  Cu, метод Ритвельда, анизотропный МНК до  $R_p$  0,066) соед: CaPdH<sub>2</sub> (I) и нейтронографич. исследование [ $\lambda$  2,014 Å, метод Ритвельда, анизотропный МНК до  $R_p$  0,052 (295 K) и 0,066 (10 K)] CaPdD<sub>2</sub> (II), изоструктурного I. Кристаллы I и II кубич.,  $a$  3,690 Å (I), 3,687 Å (I, 295 K), 3,683 Å (II, 10 K). Атомы H занимают в структуре I положения анионов в СТ перовскита, причем эти позиции заполнены на 2/3. Степень окисления атомов Pd в I и II — 0, что соответствует электронной  $d^{10}$ -конфигурации и определяет их линейную координацию, расстояния Pd—D в комплексах  $[PdD_2^{2-}]$  в I 1,84 Å. Это расстояние го-

*структура*

X, 1990, N 23

раздо больше, чем в  $\text{Na}_2\text{PdH}_2$  (1,68 Å) что м. б. обусловлено неадекватностью структурной модели, полученной при анализе порошка. Предположено статистич. распределение групп  $[\text{PdD}_2^{2-}]$ , но это же подтверждается данными эксперимента при 10 К. Авторы считают свои данные предварительными.

С. С. Мешалкин

$\text{Ca}_2\text{PtO}_4$

Логаева О.В.,

1990

Мусеев Г.К., Инсуманов Н.И. и др.

мерног. Ии-и макеты ядра  $\text{YPO}$

СБ-Ба АИ РССР. Свердловск, 1990.

ISC.: И.И. Беденокр. 21 нацб.

Рис. Ден. № ВЕНИТУ 03.07.

91, № 2854 - B91.

(c.u. Pt $\beta$  $S_2$ ; I)

$\text{Ca}_2\text{O}_3\text{H}_6$  1991

Кандырова Н.В., Вербецкий Н. В.

Синтез. Вестн. МГУ. Сер. 2. 1991.  
32, № 4. с. 419-420.

(сост.  $\bullet \text{Mg}_2\text{O}_3\text{H}_6$ ;  $\text{I}$ )

CaRuO<sub>3</sub>

1991

(M-36575)

116: 92572c Thermodynamic stability of calcium ruthenium  
oxide (CaRuO<sub>3</sub>). Mallika, C.; Sreedharan, O. M. (Metall. Div.,  
Indira Gandhi Cent. At. Res., Tamil Nadu, 603 102 India). *J. Alloys  
Compd.* 1991, 177(2), 273-7 (Eng). The emf. of the galvanic cell  
Pt, CaO, CaRuO<sub>3</sub>, Ru/15 CSZ/O<sub>2</sub> ( $P_{O_2} = 0.21$  atm). Pt was measured  
over the range 971-1312 K using 15wt.% CaO-stabilized ZrO<sub>2</sub> (15  
CSZ) as the solid electrolyte. This study yielded the least-squares  
expression  $E_{(1)} = 754.16 - 0.36659T \pm 1.70$  mV. After correcting for  
the std. state of oxygen in the air ref. electrode and by combining  
these results with the data on RuO<sub>3</sub> from the literature, the std.  
Gibbs energy of formation of CaRuO<sub>3</sub> from CaO and RuO<sub>2</sub> was detd.

(Sff)

C.A. 1992, 116, N 10

$\text{CaPd}_3\text{C}$  1991

Musarke Uwe E.,  
Geitschko W.

Z. Naturforsch. B.

1991. 46, N 9. C. 1177-

1182.

( $\text{crys. Ca}_4\text{Ni}_3\text{C}_5$ ; )

$\text{Ca}_2\text{Ti}_2\text{O}_3$  Мусеиаджана Г. Г.,  
 $\text{Ca}_2\text{Ti}_2\text{O}_4$  Сидоренко Ю. А. Ч 3р.

През. докт. 13 Всес. конф.

$\Delta H_f^\circ, S^\circ$ , 298, 120 жол. термоудинам.,  
аулеки Красноярск, 24-26

сент. 1991. т. 1. Кра-  
Сибирь, 1991. с. 157.

(ces.  $\text{BaRh}_2\text{O}_4$ ; I)

Ca-Pd

1995

123: 293749j Thermodynamic properties of Ca-Pd and Ba-Pd alloys. Alqasmi, Rashid Abdulrahman (Institut Physikalische Chemie, Universitaet Kiel, D-24118 Kiel, Germany). Z. Metallkd. 1995, 86(8), 540-4 (Eng). Coulometric titrn. was used to study Ca-Pd and Ba-Pd alloys at 800° between 0-44 at.% Ca and 0-45 at.% Ba using  $\text{CaF}_2$  and  $\text{BaF}_2$  as solid electrolytes.  $\text{CaPds}$ ,  $\text{CaPd}_2$ ,  $\text{BaPds}$ , and  $\text{BaPd}_2$  were identified in this concn. range from the activity isotherms. The range of homogeneity of these phases and their Gibbs energies of formation were detd. The limiting concns. of the terminal solid solns. (Pd) were detd. by polarization measurements.

MEASUREMENTS  
Ca-Pd

B  
④ Ba-Pd

C.A. 1995, 123, N 22

LaRuO<sub>3</sub>

1996

Cieffini S. h. et al.,

Eur. Powder Diffract:

EPDIC II: Proc. 4th Eur.

Powder Diffract. Conf.,

Chester, July, 1995,

H.-d. -Zuerich-Metikon, 1996,  
C. 789-794

(Tz2)

(all. SrRuO<sub>3</sub>; -)

CaRuO<sub>3</sub>

1997

127: 74591f Thermodynamic properties of perovskite ARuO<sub>3</sub> (A = Ca, Sr, and Ba) single crystals. Shepard, M.; McCall, S.; Cao, G.; Crow, J. E. (National High Magnetic Field Laboratory, Florida State University, Tallahassee, FL 32306 USA). *J. Appl. Phys.* 1997, 81(8, Pt. 2B), 4978–4980 (Eng), American Institute of Physics. Magnetic susceptibility, transport properties (including magnetoresistivity and the Hall effect), and sp. heat of perovskite ARuO<sub>3</sub> (A = Ca, Sr, and Ba) single crystals were measured. These compds., particularly CaRuO<sub>3</sub> (paramagnetic conductor) and SrRuO<sub>3</sub> (ferromagnetic conductor) are believed to have a narrow  $\pi^*$  band and their thermodn. properties depend in an extremely sensitive way on the degree of the band filling and band width. This study reveals that the  $\pi^*$  bandwidth of these compds. is largely detd. by the ionic radii of the alk.-earth A cations, i.e., the interaction between A s and O 2p orbitals and the electron correlation becomes progressively stronger in the series BaRuO<sub>3</sub>, SrRuO<sub>3</sub>, and CaRuO<sub>3</sub>.

(K<sub>f</sub>)

measured  
cf - Pa

t2



SrRuO<sub>3</sub>, BaRuO<sub>3</sub>

C.A. 1997, 127, IV 5

1997

F: CaRh<sub>2</sub>P<sub>2</sub>

P: 1

2Б252. О влиянии температуры, давления и замещения на кристаллическую структуру ARh[2]P[2] (A=Ca, Sr, Eu, Ba). Über den Einfluß von Temperatur, Druck und Substitution auf die Kristallstruktur von ARh[2]P[2] (A=Ca, Sr, Eu, Ba) // Z. anorg. und allg. Chem. - 1997. 623, 9. - С. 1418-1424. - Нем.; рез. Англ.

Место хранения ГПНТБ России Нагреванием смеси элементов получены при 1100{°}С серебристые кристаллы ARh[2]P[2], A=Ca, Sr, Eu, Ba ( I-IV). Проведен РСТА I-IV ('лямбда'Mo, 210, 243, 172, 280 рассмотренных отражений,

$R$  0,020, 0,024, 0,036, 0,025). Параметры тетрагональной решетки I-IV:  $a$  4,018, 3,937, 4,013, 3,939,  $c$  9,660, 11,713, 9,921, 12,576 Å, 'ро' (выч.) 6,555, 6,500, 8,723, 6,894,  $Z$  4, ф. гр. I4/mmm, структурный тип  $\text{ThCr}_2\text{Si}_2$ . Межатомное расстояние Р-Р 2,26 (I) - 3,74 Å (IV). При понижении температуры (III) до 810 К или повышении давления (II) происходит фазовый переход 1 рода с сильным изменением расстояния Р-Р. В структурах имеются слои  $\text{Rh}_2\text{P}_2$  из тетраэдров с сильными ковалентными связями.

1999

F: CaPtO<sub>3</sub>

P: 1

131:162101 Determination of thermodynamic properties of Ca<sub>4</sub>PtO<sub>6</sub> and CaPtO using solid state cells with buffer electrodes. Jacob, K. T.; Okabe, T. H T.; Waseda, Y. (Research Center Metallurgical Process Engineering, Institut Advanced Materials Processing, Tohoku Univ., Sendai 980, Japan). Z. Meta 90(7), 491-498 (English) 1999 The std. Gibbs energies of formation of CaPtO<sub>3</sub> and Ca<sub>4</sub>PtO<sub>6</sub> were measured in the temp. range from 940-1400 K using solid-state cells with (Y<sub>2</sub>O<sub>3</sub>)ZrO the electrolyte and pure oxygen gas at a pressure of 0.1 MPa as the ref. electrode. For the design of appropriate working electrodes, phase relat the ternary system Ca-Pt-O were investigated at 1250 and 1350 K. Two ter oxides, CaPtO<sub>3</sub> and Ca<sub>4</sub>PtO<sub>6</sub>, compns. of which fall on the join CaO-PtO<sub>2</sub>, w found to be stable. Each of the oxides coexisted with

pure metal Pt. Therefore, 2 working electrodes were prep'd. consisting of mixts. of Pt + Ca<sub>4</sub>PtO<sub>6</sub> and Pt + Ca<sub>4</sub>PtO<sub>6</sub> + CaPtO<sub>3</sub>. These mixts. unambiguously define uni oxygen chem. potentials under isothermal and isobaric conditions. A nove incorporating a buffer electrode between ref. and working electrodes to a the electrochem. flux of oxygen through the solid electrolyte, was used f measurement. The buffer electrode prevented polarization of the measurin electrode and ensured accurate data. The equations for the std. Gibbs en of formation .DELTA.fG<sub>0</sub> of the ternary compds. from elements in their sta form are presented. Based on the thermodn. information, chem. potential diagrams for the Ca-Pt-O system were developed.

1999

F: Ca<sub>4</sub>PtO<sub>6</sub>

P: 1

131:162101 Determination of thermodynamic properties of Ca<sub>4</sub>PtO<sub>6</sub> and CaPtO using solid state cells with buffer electrodes. Jacob, K. T.; Okabe, T. H T.; Waseda, Y. (Research Center Metallurgical Process Engineering, Institut Advanced Materials Processing, Tohoku Univ., Sendai 980, Japan). Z. Meta 90(7), 491-498 (English) 1999 The std. Gibbs energies of formation of CaPtO<sub>3</sub> and Ca<sub>4</sub>PtO<sub>6</sub> were measured in the temp. range from 940-1400 K using solid-state cells with (Y<sub>2</sub>O<sub>3</sub>)ZrO the electrolyte and pure oxygen gas at a pressure of 0.1 MPa as the ref. electrode. For the design of appropriate working electrodes, phase relat the ternary system Ca-Pt-O were investigated at 1250 and 1350 K. Two ter oxides, CaPtO<sub>3</sub>

and  $\text{Ca}_4\text{PtO}_6$ , compns. of which fall on the join  $\text{CaO}-\text{PtO}_2$ , were found to be stable. Each of the oxides coexisted with pure metal Pt. Therefore, 2 working electrodes were prepared consisting of mixts. of  $\text{Pt} + \text{Ca}_4\text{PtO}_6$  and  $\text{Pt} + \text{Ca}_4\text{PtO}_6 + \text{CaPtO}_3$ . These mixts. unambiguously define unit oxygen chem. potentials under isothermal and isobaric conditions. A novel incorporating a buffer electrode between ref. and working electrodes to a the electrochem. flux of oxygen through the solid electrolyte, was used for measurement. The buffer electrode prevented polarization of the measuring electrode and ensured accurate data. The equations for the std. Gibbs en of formation  $\Delta fG^\circ$  of the ternary compds. from elements in their standard form are presented. Based on the thermodyn. information, chem. potential diagrams for the Ca-Pt-O system were developed.

F: Ca-Rh-O

P: 1

132:171887 Solid State Cells with Buffer Electrodes for Measurement of Ch Potentials and Gibbs Energies of Formation: System Ca-Rh-O. Jacob, K. T.; Waseda, Y. Department of Metallurgy and Materials Research Centre, Indian Institute of Science Bangalore 560 012, India J. Solid State Chem., 150(1), 213-220 (English) 2000 The isothermal section of the phase diagram for the system Ca-Rh-O at 12 K has been detd. by equilibrating 12 compns. in the ternary and identifyi phases present in quenched samples by optical microscopy, powder X-ray diffraction (XRD), and energy-dispersive anal. of X rays (EDX). One tern compd., CaRh<sub>2</sub>O<sub>4</sub>, was found to be stable. It coexists with CaO and metall All the alloy compns. are in equil. with CaO. The std. Gibbs energy of

2000

C.A. 2000, 132

formation of CaRh<sub>2</sub>O<sub>4</sub> and the oxygen chem. potential corresponding to the phase field Rh + CaO + CaRh<sub>2</sub>O<sub>4</sub> were detd. using novel designs of solid st cells incorporating yttria-stabilized zirconia as the electrolyte. Buffe electrodes were introduced between ref. and working electrodes to dissipate electrochem. flux of oxygen through the solid electrolyte caused by the difference in chem. potential of oxygen at the electrodes. Polarization electrodes was prevented by the use of buffer electrodes. For the reacti + CaO + 3/2 O<sub>2</sub>.fwdarw. CaRh<sub>2</sub>O<sub>4</sub>, .DELTA.G<sub>0</sub> = 3/2 .DELTA..mu.O<sub>2</sub> = -493,340 288.67T (.+- .285) J/mol. The Gibbs energy of formation of the interoxide from the component binary oxides is .DELTA.G<sub>0</sub> = -101,670 + 10.6T (.+- .290 J/mol. Using the Neumann-Kopp rule to est. the heat capacity of CaRh<sub>2</sub>O<sub>4</sub>, std. enthalpy of formation and std. entropy of the compd. at 298.15 K are evaluated as -1142.3(.+- .2) kJ/mol and 103.2(.+- .2) J/mol.cntdot.K, resp.

F: CaRh2P2

2000

P: 1

133:313869 Structural and bonding properties of intermetallic compounds ARh<sub>2</sub>P<sub>2</sub> (A=Ca, Sr, Ba).

Shameem Banu, I. B.; Rajagopalan, M.; Vaitheeswaran, G. Department of Physics, Crescent Engineering College Chennai 600 048, India Solid State Commun., 116(8), 451-456 (English) 2000. Self-consistent band structure calcns. have been performed for tetragonal CaRh<sub>2</sub>P<sub>2</sub>, SrRh<sub>2</sub>P<sub>2</sub> and BaRh<sub>2</sub>P<sub>2</sub> compds. with a ThCr<sub>2</sub>Si<sub>2</sub>-type structure. The calcd. ground-state properties of these compds. are in good agreement with exptl. results. An anal. of the bonding situation in these compds. has been done in terms of the band structure and the electron charge d. plots. The possibility of phase transitions in SrRh<sub>2</sub>P<sub>2</sub> and BaRh<sub>2</sub>P<sub>2</sub> has been studied from the occurrence of two total energy min. with respect to the c/a ratio.

CaRu<sub>3</sub>(s) [DM 41793]

2003

Aswana Banerjee,  
R. Prasad\*, V. Venugopal,

Sfb Journal of Alloys and  
Compounds 2003, 358)

321-324

Ca4PdO<sub>6</sub>

1999

F: Ca<sub>4</sub>PdO<sub>6</sub> (структура)

P: 1 01.07-19Б2.190. Синтез под высоким давлением одномерных палладатов щелочно-земельных элементов. High-pressure synthesis of one-dimensional alkaline-earth palladates / Wang Yanhui, Walker David, Chen Bai-Hao, Scot Bruce A. // J. Alloys and Compounds. - 1999. - 285, N 1-2. - С. 98-104. Англ.

Под высоким давлением синтезированы новые соединения: Ca[4]PdO[6], Sr[4]P и Sr[3](Sr[0,75]Pd[0,25])PdO[6], которые относятся к структурному типу Sr[4]PtO[6] и характеризуются тригональной симметрией, ф. гр. R3c. Для структур полученных новых соединений характерной особенностью является на одномерных цепей из связанных через общую грань, октаэдров PdO[6] и искаже тригональных призм, между цепями расположены катионы щелочно-земельных элементов. Новые соединения являются слабыми диамагнетиками.

Структура